

Схема цифровой подписи на решетках «Облепиха»

Антон Леевик
Криптограф-исследователь



В России идет процесс стандартизации новых квантово-устойчивых схем цифровой подписи

На данный момент разработаны:

- Подпись на кодах «Шиповник»
- Подпись на хэш-функциях «Гиперикум»

Главные недостатки предложенных схем — большой размер подписи:

- «Гиперикум»: от ~ 18 Kb до ~ 57 Kb
- «Шиповник»: ~ 600 Kb

Задача: уменьшение размеров подписи при сохранении уровня стойкости

Решение: построение схемы на математическом аппарате теории решеток

Существующие подходы построения подписи на решетках

Парадигма Фиата-Шамира с прерываниями (схемы Dilithium, HAETAE)	Парадигма Hash-and-Sign (схемы Falcon, Mitaka)
Стойкость на основе сложности LWE и SIS Универсальный подход	Стойкость на основе сложности SIS Подходит для отдельных задач

Параметры	Dilithium	Falcon
Открытый ключ, байт	2 592	1 793
Подпись, байт	4 595	1 280
Выработка подписи, циклы	642 192	2 053 080
Проверка подписи, циклы	279 936	160 596

Существующие подходы построения подписи на решетках

Парадигма Фиата-Шамира с прерываниями (схемы Dilithium, HAETAE)	Парадигма Hash-and-Sign (схемы Falcon, Mitaka)
Стойкость на основе сложности LWE и SIS Универсальный подход	Стойкость на основе сложности SIS Подходит для отдельных задач

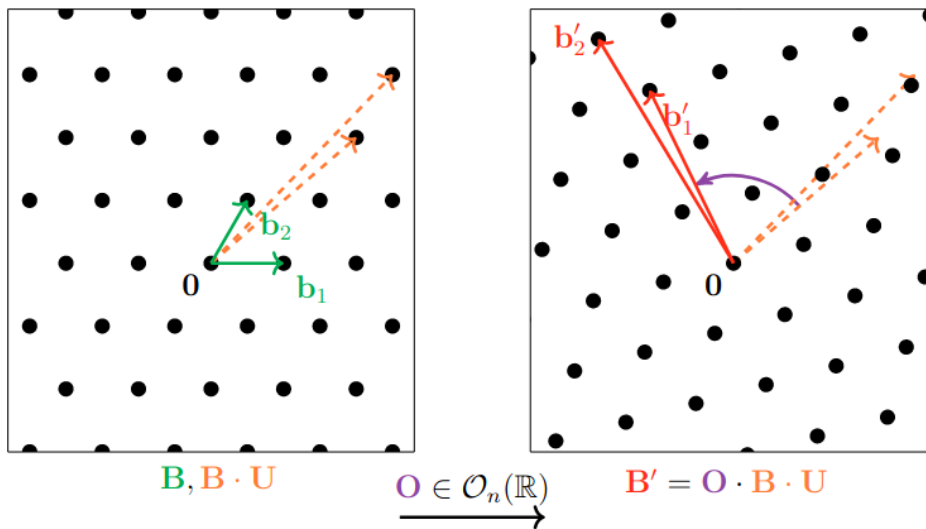
Параметры	Dilithium	Falcon	Hawk
Открытый ключ, байт	2 592	1 793	2 440
Подпись, байт	4 595	1 280	1 221
Выработка подписи, циклы	642 192	2 053 080	180 816
Проверка подписи, циклы	279 936	160 596	302 861

Hawk — новая схема на задаче **LIP!**

LIP	SIS	LWE
<ul style="list-style-type: none">• Активное изучение – 1997 год, Плескен и Суень. Криптографические конструкции – 2022 год, работа Дюка и Ван Вёрдена• Есть сведение от задач GI (изоморфизма графов) и LCE (линейной эквивалентности кодов)• Есть потенциал для уменьшения размеров подписи благодаря использованию решеток с большим минимальным расстоянием	<ul style="list-style-type: none">• 1996 год, Айтай• Есть сведение от задачи γ-SIVP• Сложно сократить размер подписи еще сильнее ввиду проблем со стойкостью	<ul style="list-style-type: none">• LPN – 1993 год, LWE – 2005 год, Регев• Есть сведение от задач γ-SIVP и γ-GapSVP

Изоморфные решетки

Пусть заданы решетки $\mathcal{L} \subset \mathbb{R}^n$ и $\mathcal{L}' \subset \mathbb{R}^n$ с базисами \mathbf{B} и \mathbf{B}' соответственно, а также ортогональное преобразование $\mathcal{O} : \mathbb{R}^n \rightarrow \mathbb{R}^n$ с соответствующей ей матрицей \mathbf{O} . Тогда решетка \mathcal{L}' изоморфна \mathcal{L} , если $\mathcal{L}' = \mathbf{O} \cdot \mathcal{L}$ и базис $\mathbf{B}' = \mathbf{O} \cdot \mathbf{B} \cdot \mathbf{U}$, где $\mathbf{U} \in \text{GL}_n(\mathbb{Z})$



Задача LIP (решетчатая версия)



Задача LIP (задача поиска)

Для двух изоморфных решеток $\mathcal{L}, \mathcal{L}' \subset \mathbb{R}^n$ найти ортогональное линейное отображение \mathcal{O} с соответствующей матрицей \mathbf{O} такое, что $\mathbf{O} \cdot \mathcal{L} = \mathcal{L}'$

Пусть решетки $\mathcal{L}, \mathcal{L}'$ заданы двумя базисами \mathbf{B}, \mathbf{B}' , тогда задача LIP определяется следующим образом

Задача LIP (задача поиска)

Если даны два базиса \mathbf{B}, \mathbf{B}' двух изоморфных решеток, то требуется найти ортогональную матрицу \mathbf{O} и унимодулярную матрицу \mathbf{U} такие, что

$$\mathbf{B}' = \mathbf{O} \cdot \mathbf{B} \cdot \mathbf{U}$$

Именно присутствие одновременно двух матриц \mathbf{O} и \mathbf{U} делает эту задачу сложной

Задача LIP (квадратичные формы)



Матрицы O, B' используют вещественные коэффициенты \Rightarrow Вместо базиса B рассмотрим матрицу Грама

$$Q = B^T B$$

Q – положительно определена и задает квадратичную форму

Если $B' = O \cdot B \cdot U$, то для $Q = B^T B$ имеем

$$(B')^T B = U^T B^T O^T O B U = U^T B^T B U = U^T Q U$$

Будем считать, что $Q \sim Q'$, если $\exists U \in GL_n(\mathbb{Z}) : Q' = U^T Q U$

Задача LIP (квадратичные формы)

Для эквивалентных Q, Q' необходимо найти такую унимодулярную матрицу $U \in GL_n(\mathbb{Z})$,
что $Q' = U^T Q U$

Класс квадратичных форм, эквивалентных Q , будем обозначать как $[Q]$

- С точки зрения теории: не легче задач GI и LCE
- С точки зрения практики: все существующие алгоритмы **требуют решения задачи SVP**

Лучший алгоритм **на практике** — перебирает все возможные изометрии между множествами коротких векторов изоморфных решеток

Лучший алгоритм с **доказанной сложностью** — использует короткие вектора примальной и дуальной решеток (требует $n^{O(n)}$ времени и памяти)

Сложность SVP и выбор решетки

Пусть \mathcal{L} – решетка в \mathbb{R}^n , $\text{Mk}(\mathcal{L}) = \sqrt{n} \det(\mathcal{L})^{1/n}$ – граница Минковского

Задача SVP

Найти кратчайший ненулевой вектор $v \in \mathcal{L}$ длины $\lambda_1(\mathcal{L}) \leq \text{Mk}(\mathcal{L})$

Чем больше значение $f = \frac{\text{Mk}(\mathcal{L})}{\lambda_1(\mathcal{L})}$, тем легче решить задачу SVP

Критерии выбора решетки:

- Малые значения f и $f^* = \frac{\text{Mk}(\mathcal{L}^*)}{\lambda_1(\mathcal{L}^*)}$
- Наличие **эффективного** алгоритма выборки из Гауссова распределения над решеткой

Решетки \mathbb{Z}^n (Hawk)	Решетки Барнса-Уолла BW_n («Облепиха»)
<ul style="list-style-type: none">• $f, f^* = \Theta(\sqrt{n})$• Алгоритмы Гауссовой выборки Кляйна, Пайкерта• SVP решается с помощью BKZ для блока $\beta \leq n/2 + o(n)$ для $n = 1024 \Rightarrow \beta \approx 440$	<ul style="list-style-type: none">• $f, f^* = \Theta(\sqrt[4]{n})$• Выборка на основе k-инговой конструкции• SVP решается с помощью BKZ для блока $\beta \approx 2n/3 + o(n)$ для $n = 1024 \Rightarrow \beta \approx 682$

Решетки Барнса-Уолла: базовое определение



Решетки Барнса-Уолла (BW) — бесконечная последовательность полноранговых решеток размерности $N = 2^n$ над $\mathbb{Z}[i]$:

$$BW_N = \begin{bmatrix} 1 & 1 \\ 0 & \theta \end{bmatrix}^{\otimes n}$$

где $\theta = 1 + i$, $\otimes n$ — произведение Кронекера.

Или

$$BW_N = \begin{bmatrix} BW_{N/2} & BW_{N/2} \\ \mathbf{0} & \theta \cdot BW_{N/2} \end{bmatrix}$$

где $BW_1 = [1]$

Решетки Барнса-Уолла: k -инговая конструкция



Решётка BW через проверочную конструкцию при $k = 2$:

$L = \theta \cdot BW_N$, где $\theta = 1 + i$

$\beta = [BW_N/\theta \cdot BW_N]$ – множество представителей классов смежности $BW_N/\theta \cdot BW_N$

$$\begin{aligned} BW_{2N} &= \Gamma(L, \beta, k) \\ &= \Gamma(\theta \cdot BW_N, [BW_N/\theta \cdot BW_N], 2) \\ &= \{(u_1 + v; u_2 + v) : u_1, u_2 \in \theta \cdot BW_N, v \in [BW_N/\theta \cdot BW_N]\} \end{aligned}$$

$$u_i + v \in \theta \cdot BW_N + [BW_N/\theta \cdot BW_N] \Rightarrow u_i + v \in BW_N \Rightarrow BW_{2N} \subset BW_N^2$$

Решетки Барнса-Уолла: k -инговая конструкция



Решётка BW через k -инговую конструкцию при $k = 4$:

$$L = \theta^2 \cdot BW_{\frac{N}{2}}, \text{ где } \theta = 1 + i$$

$$\alpha = [BW_{\frac{N}{2}}/\theta \cdot BW_{\frac{N}{2}}]$$

$$\beta = [\theta \cdot BW_{\frac{N}{2}}/\theta^2 \cdot BW_{\frac{N}{2}}]$$

$$BW_{2N} = \Gamma(L, \alpha, \beta, k)$$

$$= \Gamma(\theta^2 \cdot BW_{\frac{N}{2}}, [BW_{\frac{N}{2}}/\theta \cdot BW_{\frac{N}{2}}], [\theta \cdot BW_{\frac{N}{2}}/\theta^2 \cdot BW_{\frac{N}{2}}], 4)$$

$$= \{(m + t_1, m + t_2, m + t_3, m + t_4) : m \in \theta^2 \cdot BW_{\frac{N}{2}} + [BW_{\frac{N}{2}}/\theta \cdot BW_{\frac{N}{2}}], t_i \in \theta^2 \cdot BW_{\frac{N}{2}} + [\theta \cdot BW_{\frac{N}{2}}/\theta^2 \cdot BW_{\frac{N}{2}}],$$

$$t_1 + t_2 + t_3 + t_4 \in \theta^2 \cdot BW_{\frac{N}{2}}\} \subseteq BW_{\frac{N}{2}}^4$$

Для выборки элемента $v \leftarrow \mathcal{D}_{BW_N, \mathbf{c}, \Sigma}$, где $N = 2^{2s+1}$, используется итеративный алгоритм, в основе которого лежит k -инговая выборка*

Алгоритм

1. Выборка в решётке $\theta^2 BW_1$, где $BW_1 = \mathbb{Z}[i] \cong \mathbb{Z}^2$ (алгоритм Кляйна или Пайкерта)

2. Последовательное применение s раз k -инговой выборки с $k = 4$:

- $k = 4$:

Вход: $\theta^2 BW_{N/2} \subsetneq \theta BW_{N/2} \subsetneq BW_{N/2}$, алгоритм выборки $\mathcal{D}_{\theta^2 BW_{N/2}, \cdot, \Sigma}$ с $\Sigma > \eta_\epsilon(BW_{N/2})$, $\mathbf{c} \in BW_{N/2}^4 \otimes \mathbb{R}$

Выход: вектор из BW_{2N}

3. Для $N = 2s$ применяем k -инговую выборку с $k = 2$:

- $k = 2$:

Вход: $\theta BW_N \subsetneq BW_N \subsetneq BW_{N/2}^2$, алгоритм выборки $\mathcal{D}_{\theta BW_N, \cdot, \Sigma}$ с $\Sigma > \eta_\epsilon(BW_{N/2}^2)$, $\mathbf{c} \in (BW_{N/2}^2)^2 \otimes \mathbb{R}$

Выход: вектор из BW_{2N}

Алгоритм 1: Выборка $\mathcal{D}_s([S])$

Input: Квадратичная форма $S \in \mathcal{S}_n^{>0}$, соответствующая базису B решётки \mathcal{L} , параметр $s \geq \max\{\lambda_n(S), \eta_\epsilon(S)\}$

Output: Квадратичная форма $P = U^T S U$, изоморфизм U

- 1: $Y \leftarrow (y_1, \dots, y_n) \in \mathcal{D}_{S,0,s}^n$ // n линейно независимых векторов решётки
- 2: Вычислить эквивалентный базис R и матрицу перехода U // $\text{EqBasis}(B, Y) \rightarrow R = B U^{-1}$
- 3: $P \leftarrow R^T R$ // $P = U^T S U$
- 4: Вернуть (P, U)

Идея

- Исходная квадратичная форма S — короткая
- Для решёток BW_N выполняется $s > \lambda_N(S) \sim \sqrt{N}$
- Эффективная выборка «коротких» векторов возможна из S , но невозможна из P (без знания матрицы U)

Схема цифровой подписи «Облепиха»



Формирование ключей

На вход: системный параметр N , $S = \mathbf{B}^* \mathbf{B}$

На выход: (sk, vk) , где

- sk — секретный ключ (унимодулярная матрица \mathbf{U} , преобразующая базис исходной решетки)
- vk — открытый ключ (квадратичная форма $\mathbf{P} = \mathbf{U}^T \mathbf{S} \mathbf{U}$ изоморфной решетки)

Алгоритм 2: Алгоритм KeyGen

Input: системный параметр N , $S = \mathbf{B}^* \mathbf{B}$

Output: (sk, vk) — пара секретный/открытый ключ

- 1: Выбираем $\mathbf{P} \leftarrow \mathcal{D}_s([\mathbf{S}])$ вместе с \mathbf{U} , такой что $\mathbf{P} = \mathbf{U}^T \mathbf{S} \mathbf{U}$
- 2: Вернуть $(sk, vk) = (\mathbf{U}, \mathbf{P}) \in GL_N(\mathbb{G}) \times \mathbb{G}^{N \times N}$

Схема цифровой подписи «Облепиха»



Формирование подписи

На вход: сообщение m и секретный ключ sk

На выход: вектор σ , близкий к t относительно формы P , полученный с помощью квадратичной формы S и секретного преобразования U

Алгоритм 3: Алгоритм Sign

Input: сообщение m , секретный ключ $sk = U$

Output: подпись $\sigma \in BW_N$

- 1: $t \leftarrow \mathcal{H}(m)$
- 2: выбираем $\sigma' \leftarrow \mathcal{D}_{S, \rho/\sqrt{N}, Ut}$
- 3: $\sigma \leftarrow U^{-1}\sigma'$
- 4: Вернуть σ

Схема цифровой подписи «Облепиха»

Проверка подписи

На вход: сообщение m , открытый ключ vk и подпись σ

На выход: подпись принимается в случае принадлежности σ решётке BW_n и выполнении $\|\mathbf{t} - \sigma\|_{\mathbf{P}} \leq \rho$, в противном случае, отклоняется

Алгоритм 4: Алгоритм Verify

Input: открытый ключ $vk = \mathbf{P}$, сообщение m и подпись σ

Output: принять/отклонить подпись

- 1: $\mathbf{t} \leftarrow \mathcal{H}(m)$
- 2: **if** $\sigma \in BW_N$ и $\|\mathbf{t} - \sigma\|_{\mathbf{P}} \leq \rho$ **then**
- 3: Вернуть: принять подпись
- 4: **else**
- 5: Вернуть: отклонить подпись
- 6: **end if**

Восстановление секретного ключа

Восстановление секретного ключа = решение задачи search-LIP, то есть нахождение **любой** матрицы $\mathbf{V} \in GL(\mathbb{Z})$ такой, что $\mathbf{P} = \mathbf{V}^T \mathbf{S} \mathbf{V}$

- Лучшая атака требует решение SVP \Rightarrow уровень стойкости схемы = сложность решения SVP (core-SVP)
- Hull-атака – рассмотрение задачи SVP в $\mathcal{L} \cap s\mathcal{L}^*$. Для решеток с $\det \mathcal{L} = 1$ не облегчает перебор. Решетки Барнса-Уолла размерности $N = 2^n$ для нечетных n – унимодулярны

Подделка подписи

Подделка подписи – нахождение близкого вектора к $\mathcal{H}(m)$

- Выборка из Гауссова распределения \Rightarrow редукция базиса
- Решение задачи BDD для решетки Барнса-Уолла по квадратичной форме $\mathbf{P} \Rightarrow$ решение SVP

Сложность SVP и параметры схемы

Сложность лучшего алгоритма решения SVP для размерности β :

- Классический алгоритм: $\approx 2^{0.292\beta}$
- Квантовый алгоритм: $\approx 2^{0.265\beta}$

Схема	Размер подписи, байт	Классическая стойкость	Квантовая стойкость
Falcon	666	120	108
Hawk	555	≈ 121	≈ 110
«Облепиха»	≈ 1000	≈ 138	≈ 125
Dilithium	4595	252	229
Falcon	1280	273	248
Hawk	1221	≈ 252	≈ 229
«Облепиха»	≈ 2000	≈ 258	≈ 234

- Какова эффективность Hull-атак в контексте $\mathbb{Z}[i]$ для решеток Барнса-Уолла размерности 2^n , где n — четное?
- EUF-CMA стойкость схемы основана на задаче Δ LIP. Насколько сложна эта задача?
- Как компактно представить открытый ключ?

Соавторы доклада



Антон Леевик

Криптограф-
исследователь



Екатерина Малыгина

Криптограф-
исследователь,
PhD



Евгений Мельничук

Криптограф-
исследователь



Денис Набоков

Специалист по защите
информации



Антон Леевик

Криптограф-исследователь

aalevik@qapp.tech

[@f_o_rest](#)



qapp.tech

